

河床波の統計的性質について

京都大学工学部 正員 中川博次
 京都大学工学部 正員 辻本哲郎
 京都大学大学院 学生員 ○松田潤一郎

1. まえがき 河床波の統計的性質はそのスペクトル構造を中心として多くの研究者により調べられ、その河床波形成機構解明あるいは河床波を中心とした移動床過程の説明・予測への応用が期待されている。しかし、こうした応用面での研究はまだほとんど進んでおらず、河床波の統計的性質の更なるモデルの検索の段階に停まっている。

河床波の統計的性質の移動床過程の諸問題への応用的对象としては、dune bedsでの流砂量推定¹⁾、あるいはそこでの砂粒群の分散過程の把握、河床波の形状抵抗の推定等が考えられる。さらに著者らがすでに試みているような河床波の発達、崩壊過程の説明^{2), 3)}への適用である。これらはいずれも河床の場所的、時間的変動を表わす確率過程としてより個々の波の連なりと考えた具体的なモデルから検討されている。この両者をつなぐものとして、零次又は偏微分方程式に対する確率過程論の成果が利用される³⁾。しかし実際問題に適用する上では不充分な面も多い。そこで本研究では河床形状を河床高の連なりとして考え、解析されたスペクトル等のアプローチと河床波の個々の波の連なりと考えた場合との関連を明らかにする基礎として数値模擬を利用した考察を行う。

2. ある一定の波長分布に従う波列からなる不規則過程 まず、波長分布を既知とし、一波長の間の正弦波にモデル化された河床波の連なりによる河床形状モデルを考える。いま、著者らの実験結果^{2), 3)}より各波の波形勾配⁽⁴⁾は等しいものとする。モデル化された河床波の一周期に着目すると、その波の原点を $x=0$ として一周期内の河床高 $y(x)$ は次式で与えられる。

$$y(x) = (\theta L_i/2) \sin(2\pi x/L_i) \quad \dots (1)$$

ここで θ はいはいとある波の波長である。

この一周期分について考えると、河床高のn次モードは次式で計算できる。

$$E[y(x)]^n = \frac{1}{L_i} \int_0^{L_i} \left(\frac{\theta L_i}{2} \right)^n \sin^n \left(\frac{2\pi x}{L_i} \right) dx$$

$$= \frac{1}{2^n} \left(\frac{\theta L_i}{2} \right)^n \int_0^{2\pi} \sin^n \psi d\psi = \begin{cases} 0 & (n: \text{odd number}) \\ \frac{(n-1)!!}{n!!} \left(\frac{\theta L_i}{2} \right)^n & (n: \text{even number}) \end{cases} \quad \dots (2)$$

但し、 $n!! = \begin{cases} (n-2) \cdots \cdots 3 \cdot 1 & (n: \text{odd}) \\ n(n-2) \cdots \cdots 4 \cdot 2 & (n: \text{even}) \end{cases}$ である。

式(2)は一周期についての河床高のモードを表わしており、波長分布が与えられると河床全体の $y(x)$ のモードが次のよう前に計算できる。河床の対象区间長を L_b 、河床縦断形状の刻み幅を Δx とすれば河床高のn次モードを表わすと、

$$E[y(x)]^n = \sum_{i=1}^N \{ E[y(x)]^n \}_i (L_i/\Delta x) \cdot (A_b/L) \text{prob}[L=L_i]/(A_b/\Delta x) = \sum_{i=1}^N \{ E[y(x)]^n \}_i \cdot (L_i/\bar{L}) \cdot \text{prob}[L=L_i] \quad \dots (3)$$

ここに N は波長分布のヒストグラムのクラス数、 \bar{L} は平均波長である。上式に式(2)を代入し、平均波長で規準化された波長の確率密度函数 $f_L(\xi)$ を導入すると、各波について波形勾配 (θ) が一定という条件のもとでは、 $y(x)$ のn次モードは次式で与えられることになる。

$$E[y(x)]^n / \bar{L} = \begin{cases} 0 & (n: \text{odd}) \\ ((n-1)!!/(2^n n!!)) \cdot \int_0^{\infty} \xi^{n+1} f_L(\xi) d\xi & (n: \text{even}) \end{cases} \quad \dots (4)$$

著者の実験及び理論的考察によると、波長分布は shape parameter や θ が ~ 6 程度の gamma 分布で良く表示することができる³⁾。その規準化された確率密度函数 $f_L(\xi)$ 及び、m次モードは次のようになります。

$$f_L(\xi) = (r/r(r)) \cdot (r\xi)^{r-1} \exp(-r\xi) \quad \dots (5) \quad \int_0^{\infty} \xi^m f_L(\xi) d\xi = r(r+m)/(r^m r(r)) \quad \dots (6)$$

従って、これが偶数の場合の河床高のn次モードは $E[y(x)]^n / \bar{L} = ((n-1)!! \cdot r(r+n+1)) / (2^n n!! r^{n+1} r(r)) \quad \dots (7)$ となる。 $m=2$ の場合は河床高の分散

$$\sigma_y^2 \text{ が求められ、 } \sigma_y^2 = \bar{L}^2 \cdot r(r+3)/(8r^3 r(r)) \quad \dots (8) \quad \bar{L}/\sigma_y = 2\sqrt{2} \cdot r \cdot \sqrt{r(r+1)/(r(r+3))} \quad \dots (9)$$

が得られる。skewness は零となり、一方 kurtosis は次のように求められる。

$$K_r = E[y^4]/[E[y^2]]^2 = \frac{3}{2} rr(r+5) \cdot r(r)/(r(r+3))^2 \quad \dots (10)$$

式(9)、(10)の導出は r を変数として図-1に示してある。とくに、式(9)の結果 r が ~ 6 では平均波高が河床高標準偏差の約2倍となることが理論的に示され、従来実験的に認められていた事実と一致した(図-2)。

以上個々の波を配列したモデル河床

を河床高系列とみなした時の統計的静特性を検討した。動特性は解析的には求め難く、数値模擬によつて調べることとした。まず、既定の分布に従う波長を次々に並べ、この間を正弦波で表現し、適当な刻み幅で離散化した河床高データ $\{y_j\}$ を求めた。すなはち $[0, 1]$ の区间で一様乱数 $\{\varepsilon_i\}$ を発生させ、分布関数 $F_L(\varepsilon_i)$ である波長 $\{l_i\}$ を次のように求めた。

$z_i = F_L^{-1}(\varepsilon_i) \quad (i=1, 2, 3, \dots, M)$ いま $F_L(z)$ としては規準化された波長の分布関数を用いることとし、gamma分布のそれを用いた。こうして波長列 $\{l_i\}$ をもとに次のようないくつかの手順で実際の数値模擬を行ない、得られたモデル河床の砂面高の波数スペクトルを求めた。従来の研究^{2), 3)}結果から、 θ と r は $0.04, 0.06, 0.08$ の3種、 k と λ_m は $4, 5, 2$ 種類について行い、スペクトル解析はF.F.T.によつた。こうして計算された

波数スペクトルの一例が図-3に示される。図によると、得られたスペクトルの高波数域での遮蔽特性は波数の -4 ～ -5 乗程度となり、河床波のそれ(-3乗則⁴⁾)と比較するとかなり急激であり、上述した河床モデルはそのスペクトル特性については実際と異なる性質を有すると判断される。

3. 副次的ひずみ波の効果についての検討 前章で得た河床モデルを波の配列を変えてスペクトル特性を実際のものに近づけるため、先のモデルにひずみ波を重ね合わせた場合の効果について検討した。すなはち、前章で得られた模擬データ $\{y_i\}$ と記し、ひずみ波を y'_i を加えて新しい模擬データ $\{y_i'\}$ を作成する。 y'_i としては平均値零の一様分布からなる白色ひずみ波を考え、その強度ともとの正弦波の振幅の比を α_m とし、これをパラメータとして最適ペア (r, θ) を試行錯誤により決めた。すなはち、 $[0, 1]$ において一様乱数 $\{\varepsilon_i\}$ を発生させ、次式によつて y'_i を与えた。 $y'_i = \alpha_m \theta (\varepsilon_i - \frac{1}{2}) \quad (12)$ こうしてひずみ波の重ね合わせた模擬データの統計的性質のうち静特性に与えられる影響は以下のものと考えられる。上述の方法により得られた模擬データの波数スペクトルを計算した例が図-4に示される。図からわかるように α_m の増加により波数スペクトルの高波数域での遮蔽性状が緩やかになり、 $\lambda_m = 0.5$ 程度では -3 乗則⁴⁾が出現するようである。この結果、実際の河床波では、波長分布で規定される巨視的な不規則性状があり、その内部は相似な波から成り立つものの微視的には平均波高の半分程度の全ランダムな不規則性状が含まれているものと予想される。

4. あとがき 河床形状の不規則性は波長分布に代表される比較的規則的なそれと、それに重ね合わされた形の全くランダムなそれとのあらゆる複合されたものであることが明らかになりました。なお、3章の結果スペクトルの高波数域での遮蔽性状は必ずしも波長分布だけではなく副次的ひずみ波の影響を受けていることが類推された。この点についても著者のスペクトルモデル¹⁾との関連で検討中である。(参考文献) 1) 中川・辻本・矢田: 路53年度部年報, 1978, 2) 中川・辻本: 京大防災研年報, 1976, 3) 中川・辻本・矢田: 京大防災研年報, 1978, 4) Hino: Jour. of Fluid Mech., 1968

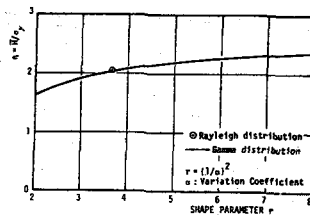


図-1 (a)

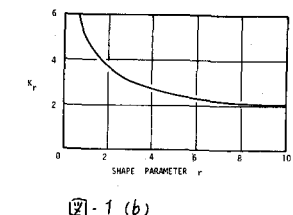


図-1 (b)

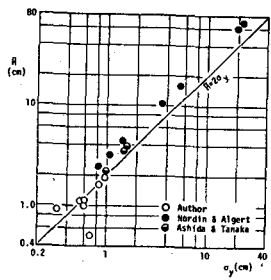


図-2

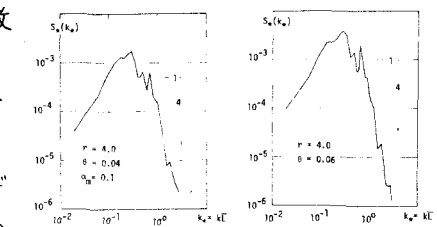


図-3

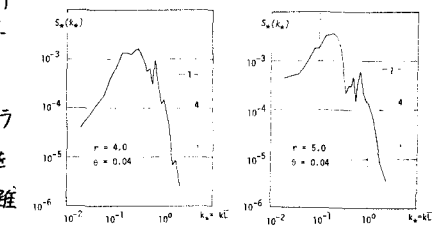


図-4